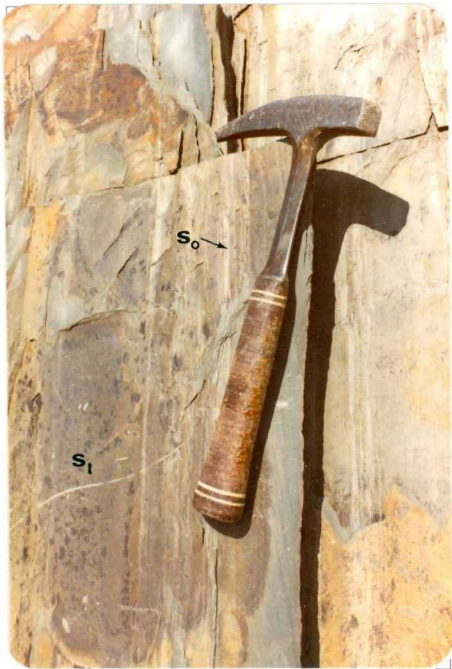




LB9601 Aspecto de las pizarras del Complejo Esquisto - Grauváquico en un talud de la c.c. Cáceres-To-rrejón El Rubio.

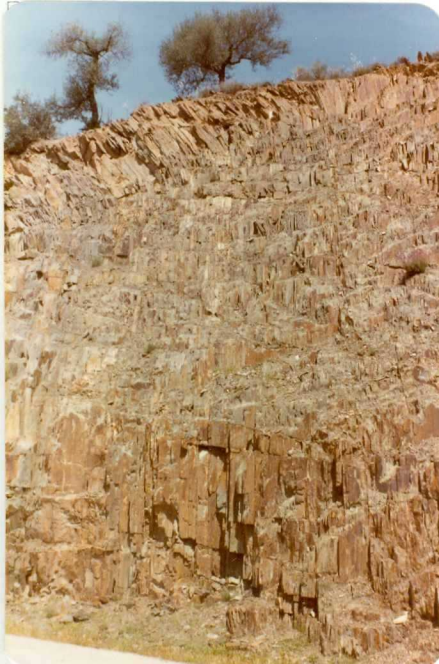


LB9602 Detalle de la fotografía anterior. Los planos que se observan - corresponden a la es - quistosidad de primera fase (S_1).



LB9603 Detalle de una alternancia de niveles pelíticos y samíticos en el Complejo Esquisto Grauváquico.

Obsérvese los repliegues existentes.



LB9604 Aspecto de los materiales del Complejo Esquisto Grauváquico al Sur - de Monroy. En este caso la estratificación (S_0) es perpendicular a la fotografía.



LB9605 Aspecto de un nivel de conglomerados del Complejo Esquisto Grauváquico, al Sur de la Hoja. Al fondo los relieves paleozóicos del Sinclinal de Cáceres.



LB9606 Detalle del nivel de conglomerados de la fotografía anterior.



LB9607 Panorámica de la Penilla
nura precámbica vista --
desde los relieves más
septentrionales del sin
clinal de Cáceres.

En primer término, "cuar
cita armoricana".



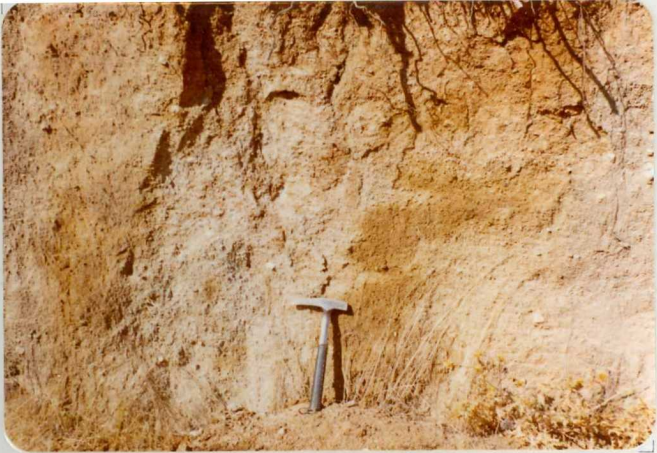
LB9608

Aspecto de las cuarcitas de la base del -- Ordovícico al Sur de - la Hoja. (Cuarcita Ar- moricana).



LB9609

Detalle de un banco de
"cuarcita armoricana"
de la fotografía ante-
rior.



LB9610 Vista parcial de las arcosas miccenas al N. de Monroy.



LB96II

Detalle de la foto anterior.



LB9612

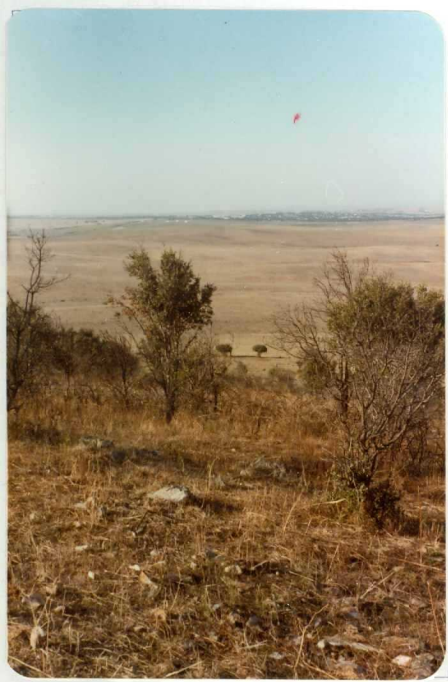
Aspecto de los depósitos de "raña" al borde de la c.c. de Cáceres a Torrejón el Rubio.



LB9613 Vista de los depósitos eluviales al sur de la localidad de Casar de Cáceres, en la zona de contacto entre el - batolito granítico de Cabeza de Araya y el C.E.G.

LB9614 Detalle de la fotografía anterior. Los cantos de cuarzo - provienen de la erosión de pequeños diques de cuarzo.





LB9645 Vista general desde las elevaciones más septentrionales del sinclinal de Cáceres.

En primer término, derrubios de ladera.



LB9616 Detalle de los derrubios de ladera de la fotografía anterior. Los cantos corresponden a cuarcitas.



LB 9617 Aspecto de un afloramiento de granito biotítico-moscovítico con megacristales feldespáticos, en las inmediaciones de Casar de Cáceres.



LB9618 Detalle del granito con megacristales feldespáticos de la fotografía anterior. Obsérvese el gran desarrollo que alcanzan los feldespatos.



LB9619 Detalle de granito de -
grano grueso, en la ca-
rretera de Casar de Cáceres a -
Arroyo de la Luz.



LB9620 Vista parcial de granitos aplíticos, en el ángulo SW de la Hoja.



LB9621 Detalle de granito aplítico de la fotografía anterior.



LB9622 Aspectos de un dique de granítico aplítico, al norte de Casar de Cáceres.

La roca caja es granito de mega-cristales feldespáticos.



LB 9623 Detalle de un nivel microconglomerático cuarcítico del Precámbrico Superior, al N. de Monroy.